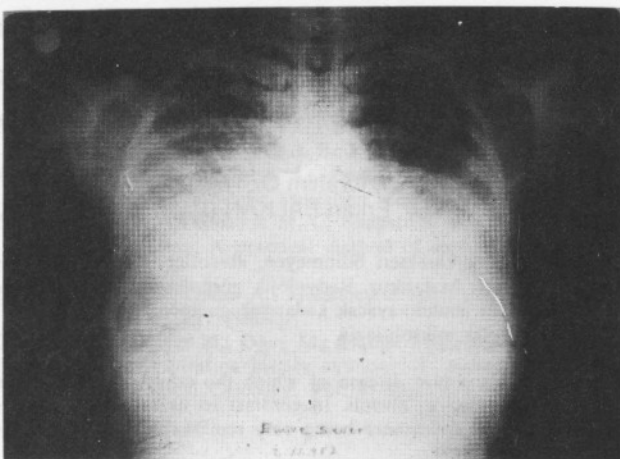


TÜRK PATOLOJİ DERGİSİ • 6-2:45-49 (1990)

(The Turkish Journal of Pathology)

TÜRK PATOLOJİ DERGİSİ

(The Turkish Journal of Pathology)



Resim 1: Akciğer grafisinde klasik kum fırtınası görünümü.

Fonksiyon Testleri: Fonksiyonel vital kapasite % 36, fonksiyonel ekspiratuvar volüm 1 saniyede % 40, fonksiyonel inspiratuvar kapasite % 36 olarak değerlendirildi. Kan gazları analizinde, pH 7.4, pCO_2 62.9, HCO_3 26.3, TCO_2 27.5 olarak bulundu.

Bu bulgular ışığında, ayırcı tanı amacı ile önce selektif olarak her iki akciğer bazal segmentlerinden bronkoalveoler lavaj, daha sonra da linguladan açık akciğer biyopsisi yapıldı. Gözleme, akciğer normal rengini kaybetmiş, koyulaşmıştır. Palpasyonla, ele ince mikronodüler gelişiyordu. Lastik kıvamında idi. Kesi yüzeyinden kanama ve alveoler hava kaçığı olmadığı tespit edildi. Biyopsinin histopatolojik tetkikinden sonra, retrograd olarak tekrar alınan aile anamnezinde ve radyolojik incelemelerde, hastanın ağabeyinde de aynı bulgular rastlandı.

Patolojik bulguları: Lavajda, sitolojik olarak önemli bir bulgu yoktu. Lingula kenarından alınan 2x2x3 Cm. boyutlarındaki, iki yüzü plevra ile örtülü düzgün, kama şeklindeki kahverengi doku parçası sert olup, kesit yüzü zımpara veya pomza taşı gibi pürtüklüdür. İki parmak arasında sürtüldüğünde ince kıl veya kum gibi bir madde hissedilmektedir.

Mikroskopik olarak; Visseral plevra altında tüm alveoller, küçüklü büyülü, yuvarlak, bazofilik lâmellöz tabakalaşmalar gösteren kalsifiye cisimciklerle doludur. Alveol duvarları genellikle kalınlaşmış, interstisyal doku azalmış, damar duvarları hıyalını değişim sonucu kalınlaşmıştır. Bazı alveol duvarlarının, cisimciklere bakan yüzünde yer ye geniş asidofilik stoplazmalı, multinukleer, yabancı cisim dev hücreleri tipinde hücreler bulunmaktadır (Resim 2). Yapılan P.A.S. boyası ile mikrolitler pozitif boyanmış (Resim 3), Verhoeff'un Elastik Boyası ile de lamellere paralel ince siyah elastik lifler belirgin olarak gözlenmiştir (Resim 4). Dekalsifiye edilen dokuların kesitleri daha elverişli bir inceleme olanağı sağlanmıştır.

Tanı: Pulmoner Alveoler Mikrolitiazis.

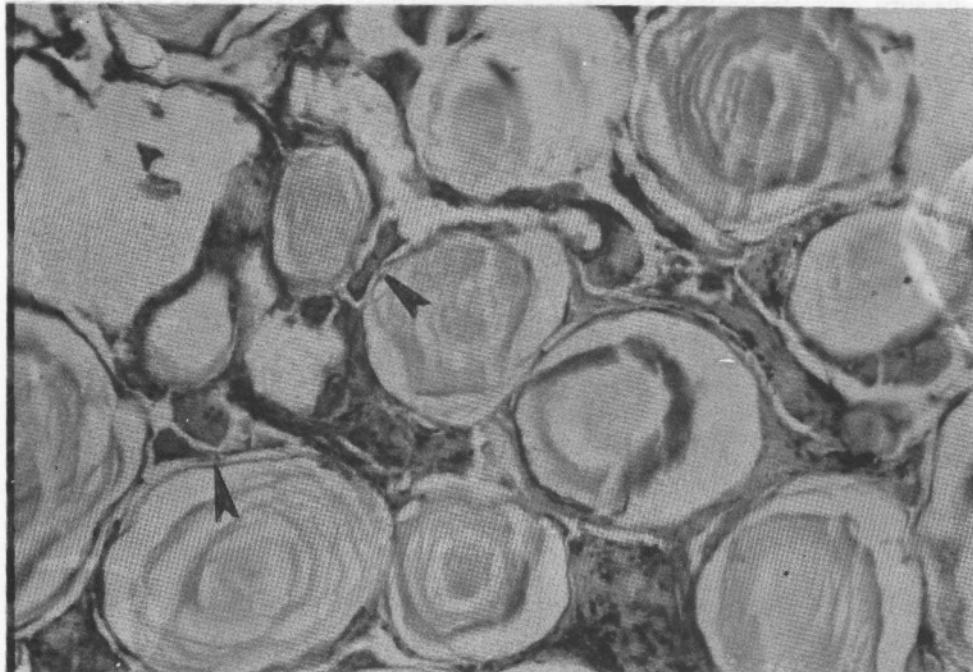
TARTIŞMA

İşik mikroskopu düzeyinde kolayca tanımlanan mikrolitler, prostatin corpora amylocalearına benzemekte olup, boyları 0.01-3 mm. arasında değişir. Bazen de 5-10 mm.'ye kadar varabilir (12,16). Bir odak çevresinde konsantrik tabakalar halinde yüksəlerek, soğan kabuğu görünümü oluştururlar. Olgumuzda alveol duvarları kalınlaşmış, damar kesitleri

460 Ü., Sedimentasyon 45 mm/saat, BK teksif ve kültürle negatif, Mantoux (5 TÜ) da negatif idi.

Radyolojik Bulgular: Çekilen akciğer grafilerinde, bilâteral akciğer alt alanlarında daha fazla olmak üzere, orta alanlara kadar yayılan mikronodüler yoğunluk artışı vardı. Her iki diafragma ve kalp sınırları seçilemiyordu (Resim 1).

Bronkoskopik Bulguları: Fiberoptik bronkoskopide basal segmentlerden gelen koyu yapışkan beyaz sekresyon dışında solunum yollarında önemli bir bulguya rastlanmadı.



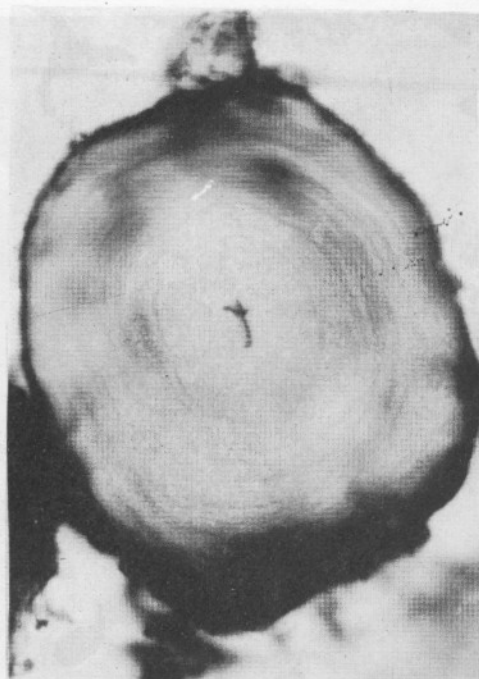
Resim 2: Dekalsifiye preparatta, alveollerı dolduran mikrolitler ve okla işaretli yabancı cisim dev hücreleri (H.E.x100)

hiyalinize, interstisyal doku azalmış ve mikrolitlerin çevrelerinde yabancı cisim dev hücreleri tipinde hücreler bulunmasına karşın, genellike yaynlarda bu tür bulgulardan bahsedilmemektedir. Taşlarla alveoler yapıları arasında bağlantı yoktur (12). Taşların içeriği Ca_2PO_3 yapısındadır. Az miktardaki kalsiyum karbonat ve çok az miktardada silika, magnezyum ve demir görülebilir (10). Demir boyası ile de pozitif sonuç alınabilir.

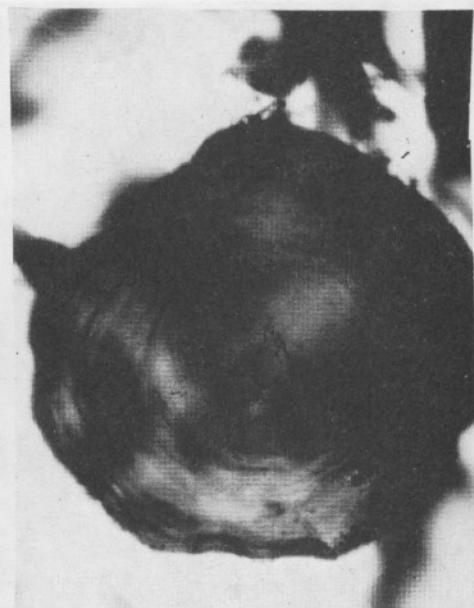
Pulmoner alveoler mikrolitiazisin nedeni bilinmemektedir. Erkek veya kadın predominansı ileri süren araştırmacılar bulunmasına rağmen (5,11), her iki cinsteki sayıda eşittir oranda görülür (10,12). Ailevi insidans, bizim olgumuzda da olduğu gibi daima kardeşler arasındadır (10,12,13). Hastalığın, Japonya'da 4-9 yaş arasında pik yaptığı kaydedilmektedir (2).

Pulmoner alveoler mikrolitiazisin patogenezinde çeşitli faktörler üzerinde durulmaktadır. Bu faktörlere göre mikrolitler; a) alveoler eksüdat ürünlerinin birikimi ile kalsiyum çökeltilerinden, b) alveoler düzeyde nonspesifik yaralanmalarda reabsorbsiyon yerinde eksüdasyon ve kalsifikasiyonun hiperimmün reaksiyonu sonucu, c) eksüdatif bir cevap sonucu, d) Alveoler yapıda enzimatik defekt sonucu pH değişiklikleri nedeni ile alkali ortamda kalsiyum fosfat erirliğinin azalmasından, e) tip 2 pnömonositlerde genetik bir bozukluk sonucu surfaktan salgı mekanizmasının yetersizliğinden meydana gelmektedir (2,5,6,7,9,10,16). Bütün bunlar etiyoloji ve patogenezi açıklamaya yeterli değildir. Kuvvetli ailevi yatkınlık ve metabolik defekt gösteren prematüre ikizlerde görülmesi, sadece alveoler düzeyde anlatımı kolaylaştırmaktadır (2).

Karakteristik olarak yavaş gelişen bu hastalık, çok ilerleyinceye kadar semptomzsuzdur. Bazen tekrarlayan solunum yolları enfeksiyonu öyküsü vardır. Birçok hastada 15-20 yıl kardio-pulmoner semptom görülmez. 30 yıl kadar takip edilmiş, fazla bir bozukluk gö-



Resim 3: Konsantrik lamellöz tabakalaşmalar gösteren bir mikrolit (PAS x 200)



Resim 4: Mikrolitte ince elastik lifter (Verhoeff'un Elastik Boyası x 200)

stermeyen hastalar da vardır. Semptomlar geliştiği zaman çoğulukla, nonproduktif öksürük en belirgin yakınmadır (10,12). Buna dispne ile hemoptizi de eklenir. Ekzersiz sırasında da nonproduktif öksürük ve dispne mevcuttur (9). Yıllar geçtikçe, solunum yetmezliği, kor pulmonale ve ölüm birbirini izler (9,12). Kor pulmonaleye bağlı olarak da parmaklarda çomaklaşma olur (5). Brown ve arkadaşları yaptıkları hemodinamik çalışma ile hastalığın erken dönemlerinde eforla hipoksemisinin arttığını saptamışlar ve vital kapasiteleri normalin % 80'inden daha düşük olan olguların orta ve ağır eforlardan kaçınmaları gerektiğini ortaya koymuşlardır (1).

Hastalığın erken dönemlerinde akciğer fonksiyon testleri normaldir. İleride solunum fonksiyonları bozulduğunda, öncelikle restriktif tip solunum yetmezliği major bulgu haline gelir (5,7,8). Total akciğer kapasitesinde ve vital kapasitede azalma, normal rezidüel volum / total akciğer kapasitesi oranı ve CO için akciğerin diffüzyon kapasitesinde azalma, geç ventilasyon-perfüzyon bozukluğu anomalisi, ekzersizde arteriyel hipoksemi gibi bulgular ortaya çıkar (1,5,8,12,14,15). Pulmoner arter wedge basıncı, pulmoner arter diastolik basıncı ve kardiyak atım, istirahatte normaldir (1). Hastaların karaciğer fonksiyon düzeyleri normal değerlerdedir. Proteinürü yoktur. Serum demiri ve ter testi normaldir. Kan gazları değerleri, çoğu olguda normale yakındır (1,5,7,10).

Tanı koymada anahtar, lezyonların kalsifik yoğunluğunun tanınmasıdır. Bunun için göğüs yüksek penetrasyonlu veya Bucky grafları çekilmelidir. Bu tekniklerle, kaburgaların kalsifik yoğunlukla ayırmayı yapmış olur. Kesin tanı; açık akciğer, transtorakal, transbronşial iğne biyopsileri, radyoloji ile uyumlu olduğunda da balgam ve bronkoalveoler lavajın sitolojik tetkikleri ile konur (3,7,11,16).

Hastalık, göğüs radyografilerinde milier görünümlü veren lezyonlarla sıkılıkla karışır. Mi-

lier tüberküloz en çok konulan yanlış tanıdır. Bunun yanında mantar hastalıkları, uzun süreli ciddi mitral stenozu ile beraber seyreden hemosideroz ve pnömomokonyoz da sayılabilir.

Hastalığın kesin tedavisi yoktur. Bazı olgularda bronkoalveoler lavaj denenmişse de sonuç alınamamıştır (3,7,9,10,11,12).

KAYNAKLAR

1. Brown, J., Walfre, L., Felton, C.: Hemodynamic and pulmonary studies in pulmonary alveolar microlithiasis. Am. J. Med. 77: 176-178 (1984).
2. Caffrey P.R., Altman, R.S.: Pulmonary alveolar microlithiasis occurring in premature twins. J. Pediatr. 66: 758-763 (1965).
3. Çamsarı, G., Kılıç, U., Çıraklıoğlu, S., Öztürk, S., İlker, O., Hacıhanefioğlu, U.: Pulmoner alveoler mikrolithiazis. Türk Patoloji Dergisi, 6 (1): 7-10 (1990).
4. Enacar, N., Yavuzer, Ş., Şaylı, B.S., Karabiyikoğlu, G., Ekim, N.: Pulmoner alveoler mikrolithiazis (altı vaka dolayısı ile). Tüberküloz ve Toraks, 26: 186-189 (1978).
5. Fulcihan, F.J.D., Abboud, R.T., Balikian, J.P., Nucho, C.K.N.: Pulmonary alveolar microlithiasis: Lung function in five cases. Thorax, 24: 84-90 (1969).
6. Hacıhanefioğlu, U., Uysal, V.: Alveoler microlithiasisli yedi olgu üzerinde patolojik inceleme. III. Ulusal Patoloji Kongre Kitabı, İzmir. Bilgehan Matbaası p: 462 (1978).
7. Kılıçaslan, Z., Küçükusta, A.R., Öztek, I.: Tanıları akciğerigne biyopsisi ve bronkoalveoler lavajla doğrulanın iki akciğer mikrolitiazisi olgusu. Ege Ü. Tip Fak. Dergisi, 24 (4): 1343-1348 (1985).
8. Lebacq, E., Lauweryns, J., Billiet, L.: Pulmonary alveolar microlithiasis: Case report with lung function studies. Br. J. Dis. Chest, 58: 31-35 (1964).
9. Miro, J.M., Moreno, A., Coca, A., Segura, F., Soriano, E.: Pulmonary alveolar microlithiasis with an Radiological pattern. Br. J. Dis. Chest, 76: 91-96 (1982).
10. Ochs, R.H.: Depositional disises of the lung. In: pulmonary diseases and disorders, (Ed) Fishman, A.P., Second Ed., Vol.2, Chap. 61, New York, London, Tokyo, McGraw-Hill Book Comp. p: 431 (1988).
11. Polombini, B.C., Da Silva Porto, N., Wallau, C.V., Camargo, V.J.: Bronchopulmonary lavage in alveolar microlithiasis. Chest, 80: 242-243 (1981).
12. Prakash U.B.S., Barham, S.S., Rosenow, E.C., Brown, M.L., Payne, W.S.: Pulmonary alveolar microlithiasis: A review including ultrastructural and pulmonary function Stidues. Mayo Clin. Proc. 58: 290-300 (1983).
13. Sosman, M.C., Dodd, G.D., Jones, W.D., Pillmore, G.U.: The familial occurrence of pulmonary alveolar microlithiasis. Am. J. Roentgenol. 77: 947 (1957).
14. Thomson, W.B.: Pulmonary alveolar microlithiasis. Thorax, 14: 76-81 (1959).
15. Viswanathan, R.: Pulmonary alveolar microlithiasis. Thorax, 17: 251-256 (1962).
16. Zaman, M.B., Melamed, M.R.: Pulmonary cytology. In: pulmonary diseases and disorders, (Ed) Fishman, A.P., Second Ed., Vol. 1, Chap. 31, New York, London, Tokyo, McGraw-Hill Book Comp. p: 431 (1988).

(*) Stoplazma ve nükleer sitohipereksi yapı.
(**) Uniform görünümlü - tipik! İsimli 10-15 yaşlarında hastaların %90'ında ATAD.
(***) Uniform görünümlü + erode plasmorizm.
**** Tamamen plasmorizm - 10-15 yaşlarında hastaların %90'ında ATAD.